

Deliberazione della Giunta Regionale n. 2332, del 28.12.2017

Comune di SAN SEVERO (FG)

Devoluzione del finanziamento di € 3.083.600,00 per la realizzazione di n° 20 alloggi di E.R.P. ricadenti nel P.E.E.P. - Comparto "C" e ubicati in Via Giovanni Guareschi e Via Mario Carli

| | | |
|--|--|--|
| | Il progettista architettonico (Ufficio Progettazione ARCA Capitanata) Ing. Antonio VERRASTRO | Il Responsabile Unico del Procedimento (Resp. Ufficio Progettazione ARCA Capitanata) Arch. Anna Maria TOMASULO |
| | Il progettista delle strutture e degli impianti tecnologici ICOSER Servizi di Ingegneria Integrata S.r.l. (Ing. Angelo VENNARI) <i>Via del Commercio, 1</i> <i>74020 Montemesola (TA)</i> | Il Direttore ARCA Capitanata (Dirigente del Settore Tecnico) Ing. Vincenzo DE DEVITIIS |

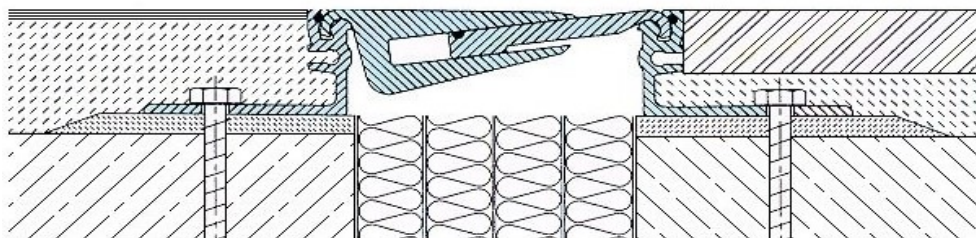
| | | | |
|---------------|-------------------------------------|-------------------------|---------------|
| TAVOLA | TITOLO | | SCALA |
| REL-S10 | RELAZIONE DI CALCOLO GIUNTO SISMICO | | DATA |
| | | | Dicembre 2018 |
| AGGIORNAMENTI | L'IMPRESA | IL DIRETTORE DEI LAVORI | |
| RIF. | | | |

CALCOLO GIUNTO SISMICO

La presente relazione di calcolo illustra i criteri adottati per il dimensionamento del giunto sismico da realizzare tra la costruzione in progetto e quella esistente, ad esse immediatamente attigua, al fine di scongiurare eventuali fenomeni di martellamento tra i due fabbricati a seguito di un evento sismico.

Si specifica, a tal merito, come i calcoli di progetto siano stati condotti in conformità a tutto quanto indicato nel D.M. 17.01.2018 (*"Aggiornamento delle «Norme tecniche per le costruzioni»"*).

Il D.M. 17.01.2018 (*"Aggiornamento delle «Norme tecniche per le costruzioni»"*) al § 7.2.1 prescrive che *"la distanza tra costruzioni contigue deve essere tale da evitare fenomeni di martellamento e comunque non può essere inferiore alla somma degli spostamenti massimi determinati per lo SLV, calcolati per ciascuna costruzione secondo il § 7.3.3 (analisi lineare) o il § 7.3.4 (analisi non lineare) e tenendo conto, laddove significativo, dello spostamento relativo delle fondazioni delle due costruzioni contigue, secondo quanto indicato ai §§ 3.2.4.1, 3.2.4.2 e 7.3.5. La distanza tra due punti di costruzioni che si fronteggiano non potrà in ogni caso essere inferiore a 1/100 della quota dei punti considerati, misurata dallo spiccato della fondazione o dalla sommità della struttura scatolare rigida di cui al § 7.2.1, moltiplicata per $2a_g \cdot S/g \leq 1$. Qualora non si possano eseguire calcoli specifici, lo spostamento massimo di una costruzione non isolata alla base può essere stimato in 1/100 della sua altezza, misurata come sopra, moltiplicata per $a_g \cdot S/g$; in questo caso, la distanza tra costruzioni contigue non potrà essere inferiore alla somma degli spostamenti massimi di ciascuna di esse."*



| | | |
|---|----------|---------|
| Stato Limite di riferimento | | SLV |
| Accelerazione orizzontale massima al sito | a_g | 0,206 g |
| Valore massimo del fattore di amplificazione dello spettro in accelerazione orizzontale | F_0 | 2,46 |
| Periodo di inizio del tratto a velocità costante dello spettro in accelerazione orizzontale | T_C^* | 0,335 s |
| Vita nominale di progetto | V_N | 50 |
| Quota s.l.m. del sito | q | 89 m |
| Classe d'uso | C | II |
| Coefficiente d'uso | C_U | 1,00 |
| Periodo di riferimento dell'azione sismica | V_R | 50 |
| Probabilità di superamento | P_{VR} | 10% |
| Tempo di ritorno dell'azione sismica | T_R | 475 |

| | | |
|--|-----------------|---------|
| Categoria di sottosuolo | | A |
| Coefficiente di amplificazione stratigrafica | S_S | 1,00 |
| Coefficienti funzione della categoria di sottosuolo | C_C | 1,00 |
| Categoria topografica | | T1 |
| Coefficiente di amplificazione topografica | S_T | 1,00 |
| Coefficiente per categoria di sottosuolo e delle condizioni topografiche | S | 1,00 |
| Periodo corrispondente all'inizio del tratto dello spettro ad accelerazione costante | T_B | 0,112 s |
| Periodo corrispondente all'inizio del tratto a velocità costante dello spettro | T_C | 0,335 s |
| Periodo corrispondente all'inizio del tratto a spostamento costante dello spettro | T_D | 2,423 s |
| Quota dei punti che si fronteggiano misurata dallo spiccatto delle fondazioni | H | 16,50 m |
| Periodo del modo principale della struttura derivante dall'analisi sismica | T_1 | 0,504 s |
| Struttura regolare in pianta? | | No |
| Struttura regolare in altezza? | | No |
| Valore base del fattore di comportamento allo SLV | q_0 | 3,900 |
| Fattore riduttivo | K_R | 0,80 |
| Fattore di comportamento di calcolo | q | 3,12 |
| Fattore moltiplicativo spostamenti | μ_d | 3,12 |
| Spostamento massimo del nuovo fabbricato ottenuto dall'analisi lineare | d_{Ee} | 0,90 cm |
| Spostamento massimo del nuovo fabbricato sotto azione sismica valutato allo SLV | d_E | 2,80 cm |
| Spostamento massimo ammissibile del fabbricato esistente valutato allo SLV | $d_{esistente}$ | 6,79 cm |
| Dimensione da calcolo del giunto ($d_{giunto} = d_E + d_{esistente}$) | d_{giunto} | 9,60 cm |
| Peso dell'arrotondamento da applicare alla dimensione da calcolo del giunto | P | 5,00 |

| | | |
|--|--------------------------------|-----------------|
| Dimensione consigliata per il giunto ($d_{giunto} > d_E + d_{esistente}$) | d_{giunto} | 10,00 cm |
|--|--------------------------------|-----------------|

Il Tecnico:

(Dott. Ing. Angelo VENNERI)